



بررسی تجربی و شبیه‌سازی اجزاء محدود متراکم‌کننده استوانه‌ای-مخروطی-استوانه‌ای با سطح مقطع دایره‌ای شکل: بکارگیری در فرآیند اصطکاک لغزشی به همراه ارتعاشات آltrاسونیک

داود شاهقلیان قهرخی^۱، محمود سلیمی^{۲*}، محمود فرزین^۳

- دانشجوی کارشناسی ارشد مهندسی مکانیک، دانشگاه صنعتی اصفهان، اصفهان
- استاد، مهندسی مکانیک، دانشگاه صنعتی اصفهان، اصفهان
- استاد، مهندسی مکانیک، دانشگاه صنعتی اصفهان، اصفهان
- *اصفهان، کدپستی salimi@cc.iut.ac.ir، ۸۴۱۵۶۸۳۱۱۱

چکیده

زمانی که دو جسم روی سطح مشترکی لغزش می‌کنند بین آن‌ها اصطکاک به وجود می‌آید. با اعمال ارتعاشات آltrاسونیک به یکی از این دو جسم، نیروی اصطکاک بین دو جسم کاهش می‌یابد. این خاصیت دارای کاربردهای فراوانی در فرآیندهای شکل‌دهی و ماشین‌کاری دارد. برای تولید و انتقال ارتعاشات آltrاسونیک به ناحیه هدف نیاز به استفاده از اجزاء سیستم آltrاسونیک، شامل ژنراتور، ترانزدیوسر و متراکم‌کننده می‌باشد. بخش مهمی از یک سیستم آltrاسونیک را متراکم‌کننده تشکیل می‌دهد که مهمترین وظیفه آن انتقال ارتعاشات آltrاسونیک و تقویت دامنه ارتعاشات آltrاسونیک در خروجی خود می‌باشد. در این تحقیق متراکم‌کننده آلومینیومی با هندسه استوانه‌ای-مخروطی-استوانه‌ای طراحی شد و در نرم‌افزار اجزاء محدود آباکوس آلتالیز مودال شده و سپس ساخته شد. فرکانس تشیدی به دست آمده از نرم‌افزار آباکوس ۱۹۹۷۶ هرتز می‌باشد. فرکانس تشیدی به دست آمده از ژنراتور ۱۹۹۲۰ هرتز می‌باشد. نتایج تطبیق خوب بین نتایج شبیه‌سازی اجزاء محدود و نتایج تجربی را نشان می‌دهد. اختلاف بین نتایج شبیه‌سازی اجزاء محدود با نتایج تجربی کمتر از یک درصد می‌باشد. همچنین یک مجموعه متراکم‌کننده-قطعه کار جهت به کارگیری در فرآیند اصطکاک به همراه آltrاسونیک طراحی و ساخته شد و سپس گیره‌بندی و ابزار نگهدارنده برای ابزار ارتعاشی به گونه‌ای طراحی شد که بتوان آن را بر روی دستگاه تراش نصب کرد و اندازه‌گیری نیروی اصطکاک هنگام اعمال ارتعاشات آltrاسونیک را ممکن باشد.

اطلاعات مقاله

- | | |
|--------------------|---|
| مقاله پژوهشی کامل | دریافت: ۲۴ مرداد ۱۳۹۳ |
| پذیرش: ۰۵ مهر ۱۳۹۳ | ارائه در سایت: ۰۱ آذر ۱۳۹۳ |
| کلید واژگان: | متراکم‌کننده استوانه‌ای-مخروطی-استوانه‌ای |

شبیه‌سازی اجزاء محدود
ارتعاشات آltrاسونیک
فرآیند اصطکاک لغزشی

Experimental Study and finite element simulation of Cylindrical-conical-cylindrical horns with Circular cross-section: Application on ultrasonic vibrations Sliding friction process

Davoud Shahgholian Ghahfarokhi¹, Mahmoud Salimi^{1*}, Mahmoud Farzin¹

۱- Department of Mechanical Engineering, Isfahan University of Technology, Isfahan, Iran.
* P.O.B. *8415683111, Isfahan , salimi@cc.iut.ac.ir

ARTICLE INFORMATION

Original Research Paper
Received 15 August 2014
Accepted 27 September 2014
Available Online 22 November 2014

Keywords:
Cylindrical-conical-cylindrical horns
FEM simulation
Ultrasonic vibration
Process sliding friction

ABSTRACT

When two bodies slide on each other, friction is created. By superposing ultrasonic oscillation to one of the bodies, the friction force is reduced. This phenomenon is widely used in metal forming and metal cutting. For the production and transmission of ultrasonic vibrations to a target it is necessary to use an ultrasonic system, the components of which are a generator, a transducer and a horn. Horn constitutes an important part of the Ultrasonic systems. The main task of the horn is to transmit the ultrasonic vibrations and amplify the ultrasonic vibration amplitude at the output. In this study, an Aluminum horn was designed in cylindrical-conical-cylindrical shape geometry and analyzed by the finite-element method(FEM), and manufactured using the Abaqus software. The resonance frequency obtained in Abaqus was equal to 19976 Hz. The resonance frequency obtained from the generator was equal to 19920 Hz. Hence very good agreement exists between the experimental result and the FEM simulation. The difference between the finite element simulation results and the experimental ones is less than one percent. Moreover, a horn-workpiece assembly for applying the ultrasonic sliding friction was designed and manufactured. Then the fixture and the tool holder clamp were designed for the vibrating tool so that it can be installed on a milling machine and the friction force measurement is possible while the ultrasonic vibrations are applied.

Please cite this article using:

D. Shahgholian Ghahfarokhi, M. Salimi, M. Farzin, Experimental Study and finite element simulation of Cylindrical-conical-cylindrical horns with Circular cross-section: Application on ultrasonic vibrations Sliding friction process, *Modares Mechanical Engineering*, Vol. 15, No. 1, pp. 31-38, 2015 (In Persian)

برای ارجاع به این مقاله از عبارت ذیل استفاده نمایید:

1- مقدمه

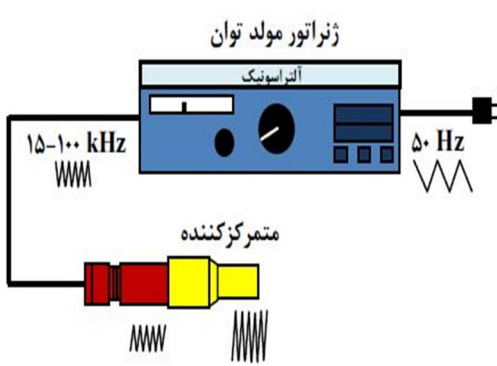
بر روی ماشین کنترل عددی از ارتعاشات برای باربرداری استفاده نمود. دستیابی به صافی سطحی در حدود 0/7 میکرومتر از دست آوردهای این فرآیند بوده است [14]. مولیک و پاندی از ارتعاشات آلتراسونیک در پرداختکاری سایشی به کمک میدان مغناطیسی استفاده کردند. درین مطالعه کاوش نیروهای اعمالی به سطح از جمله اثرات، ارتعاشات واردہ به قطعه کار گزارش شده است [15].

زمانی که سطوح بر روی یکدیگر حرکت می‌کنند بین آنها اصطکاک دینامیکی به وجود می‌آید، اگر به یکی از دو جسمی که بر روی یکدیگر حرکت می‌کنند نوسانات آلتراسونیک دهیم تحقیقات نشان می‌دهد که باعث کاوش نیروی اصطکاک می‌گردد.

لیتمن و همکاران به صورت تئوری و تجربی [16, 17] تأثیر نوسانات آلتراسونیک را بر روی ضریب اصطکاک در جهت طولی و ضریب اصطکاک به دست آوردن. کردن و رابطه بین سرعت نسبی دو جسم و ضریب اصطکاک به دست آوردن. کومار و هاچینگر [18] نیز به صورت تجربی تأثیر نوسانات را در جهت طولی و عرضی بررسی کرد و بیان کردن که نوسانات طولی تأثیر بیشتری در کاوش نیروی اصطکاک نسبت به نوسانات عرضی دارد. پوپوف و همکاران [19] نیز به صورت تجربی تأثیر نوسانات را برای گسترهای از مواد بررسی کرد و بیان کردن که این نوسانات تأثیر کمتری بر روی مواد نرم نسبت به مواد ترد داراست. دانگ و داپینیو [20] یک مدل الاستیک-پلاستیک از تغییر شکل زبری‌ها در حضور نوسانات آلتراسونیک در جهت طولی و عرضی ارائه کردند.

همانگونه که دیده شد ارتعاشات آلتراسونیک دارای کاربردهای مفید بسیاری از جمله کاوش نیروی اصطکاک، کاوش نیروی شکل دهی، کاوش انرژی و پرداخت سطح بهتر می‌باشد. اما برای تولید و انتقال امواج آلتراسونیک به ابزار یا قطعه کار موردنظر، نیاز به طراحی، کاربرد و استفاده از تجهیزات خاصی می‌باشد. در شکل 1 مجموعه از یک سیستم آلتراسونیک نشان داده شده است [21]. اجزاء سیستم آلتراسونیک شامل ژنراتور مولد توان، ترانسدیوسر و متمرکزکننده (هورن) می‌باشد. ژنراتور مولد توان و لوتاژ فرکانس برق شهری (50 Hz) را به لوتاژ فرکانس بالا (10-100 kHz) تبدیل می‌کند. لوتاژ فرکانس بالا جهت تحریک مکانیکی ترانسدیوسر استفاده می‌شود. ترانسدیوسر آلتراسونیک انرژی الکتریکی دریافت شده از ژنراتور را به نوسانات مکانیکی تبدیل می‌کند. سپس ارتعاشات مکانیکی انتهای ترانسدیوسر توسط متمرکزکننده به قطعه یا ابزار موردنظر انتقال می‌یابد [22].

بخش مهمی از یک سیستم آلتراسونیک، تمرکز دهنده یا انتقال دهنده ارتعاشات به ابزار است که با توجه به شرایط مسئله طراحی می‌گردد. تمرکز دهنده نقش انتقال انرژی و تمرکز آن بر یک حجم کوچک را دارد و دارای



شکل 1 شماتیک یک سیستم آلتراسونیک [21]

به امواجی که فرکانس نوساناتش بیشتر از 20 کیلو هرتز باشد، امواج آلتراسونیک می‌گویند این امواج دارای دامنه کم و فرکانس نوسانات بالای می‌باشند که دارای کاربردهای گوناگونی در فرآیندهای شکل دهی و ماشین کاری می‌باشد.

نوسانات آلتراسونیک بین دو جسم همانند یک روانکار جامد عمل می‌کند و باعث کاوش نیروی مورد نیاز برای شکل دهی می‌شود به همین دلیل کاربردهای بسیاری در فرآیندهای شکل دهی دارا می‌باشند که در این زمینه تحقیقات فراوانی انجام گرفته است.

موروکاوا و جین [1] به بررسی کاوش نیروی موردنیاز در فرآیند کشش سیم پرداختند. هانگ و همکاران [2] یک تحلیل عددی برای فرآیند کله‌زنی با امواج آلتراسونیک ارائه کردند. اکبری موسوی و همکاران [3] کاوش 30 درصدی در نیروی اصطکاک در فرآیند اکستروژن توانم با آلتراسونیک را نشان دادند. رایدل [4] کاوش 37 درصدی در نیروی شکل دهی در فرآیند کشش عمیق در حضور نوسانات آلتراسونیک را نشان دادند. زاوو و همکاران [5] به تأثیر نوسانات بر روی فرآیند فشار در ابعاد میکرو پرداختند. افتخار شهری و همکاران [6] به بررسی تحلیلی و عددی برای فرآیند هیدروفرمینگ لوله در حضور ارتعاشات آلتراسونیک پرداختند.

استفاده از ارتعاشات در فرآیندهای گوناگون ماشینکاری نیز مورد توجه محققین قرار گرفته است. از این روش در فرآیندهای ماشینکاری نظری تراشکاری¹، سوراخکاری²، فرزکاری³، برقوکاری⁴ و سنگ زنی⁵ استفاده شده و اثرات مثبت این روش مورد تأیید قرار گرفته است. استفاده از ارتعاشات در ماشینکاری از جمله فناوری‌های جدیدی است که در آن ارتعاشات طولی با بسامد بالا و دامنه کوچک به ابزار اعمال می‌گردد به طوری که در گیری ابزار با قطعه کار قطع و وصل می‌گردد. محققین مزایای بسیاری از جمله بهتر شدن صافی سطح، کاوش یا حذف پلیسه و بهبود در عدم تشکیل لبه انباسته را ذکر کرده‌اند. این روش ماشین کاری در فرآیندهای مهم ماشین کاری که در بالا ذکر شد، استفاده شده است که در ادامه به تعدادی از آنها اشاره می‌شود. شاموت و موریوکی فرآیند برش ارتعاشی را در دووجه تحت عنوان ماشین کاری ارتعاشی بیضوی انجام دادند. از نتایج کار آنها کاوش ضخامت براده و کاوش نیروی برشی بود [7-10]. بایتسکی و آتساشیو تحلیل غیرخطی به صورت ارتعاش ضربه‌ای برروی فرآیند ماشین کاری همراه با آلتراسونیک انجام دادند آنها نشان دادند که با اعمال مود ارتعاش ضربه‌ای بر قطعه کار، تغییرات زیادی بر ویژگی‌های دینامیکی ماشین کاری در این فرآیند حاصل می‌شود [11]. ایچیدا و همکارانش با ساخت مکانیزم ماشین کاری آلتراسونیک قطعات تخت، نحوه باربرداری قطعات را مورد بررسی داد. وی نشان داد که مهم‌ترین عامل باربرداری پدیده کاویتاسیون می‌باشد. وی تأثیر پارامترهایی مانند گپ هوایی و زمان ماشین کاری را برروی باربرداری مطالعه نمود. طبق گزارشات ارائه شده با افزایش گپ هوایی و کاوش زمان ماشین کاری، میزان باربرداری کاوش می‌یابد [12]. کوردو و همکارانش، ابزاری برای ماشینکاری قطعات به کمک ارتعاشات آلتراسونیک معرفی نمود [13]. هوچنگ و کو از ماشین کاری آلتراسونیک برای پرداخت قالب‌های فولادی استفاده کرد. او در پژوهش خود با طراحی ابزار سخت و نصب آن

- 1- Turning
- 2- Drilling
- 3- Milling
- 4- Reaming
- 5- Grinding

ارتعاشات را خوب منتقل می‌کند. اما همان‌گونه که گفته شد این نوع متمنکرکننده ارتعاشات را فقط منتقل کرده و دامنه موج تولیدی در انتهای هورن با دامنه موج تولید شده توسط ترانسdiyosr مساوی می‌باشد^[25].

متمنکرکننده پله‌ای² یک متمنکرکننده دو المانی می‌باشد که المان دوم آن با استفاده از ایجاد یک پله طراحی می‌گردد. پله ایجاد شده باعث تعییر ناگهانی سطح مقطع شده و تمرکز تنش شدیدی ایجاد خواهد کرد. همچنین تغییر سطح مقطع ناگهانی باعث برگشت درصدی از موج تولید شده توسط ترانسdiyosr به خود ترانسdiyosr شده که باعث افزایش دمای مجموعه می‌شود. مزیت آن نسبت به متمنکرکننده استوانه‌ای تقویت دامنه ارتعاش می‌باشد. به دلیل تعییر ناگهانی سطح مقطع نسبت به متمنکرکنندهای دیگر از ضریب تقویت دامنه بزرگ‌تر بخوردار است^[25]. ضریب تقویت³ از تقسیم دامنه خروجی به دامنه ورودی به دست می‌آید^[33].

متمنکرکنندهای مخروطی⁴ و نمایی⁵ نسبت به دو متمنکرکننده قبلی عملکرد بهتری دارند و به صورت گسترده در صنعت استفاده می‌شوند این دو متمنکرکننده به دلیل عدم بازگشت امواج تولیدی، سیستم را از نظر شرایط دمایی در حالت ایده‌آل نگه می‌دارند.

تنش‌های اعمالی به متمنکرکننده نباید از استحکام تسلیم جنس مورد استفاده تجاوز نمایدتش اعمال شده به متمنکرکننده پله‌ای و نمایی نسبت به دو متمنکرکننده استوانه‌ای و مخروطی بیشتر می‌باشد^[25].

همان‌گونه که در ابتدای این تحقیق اشاره شد با اعمال نوسانات آلتراسونیک به یکی از دو جسم درگیر، باعث کاهش نیروی اصطکاک بین دو جسم می‌گردد که این خاصیت دارای کاربردهای صنعتی فراوانی می‌باشد. هدف این تحقیق طراحی، شبیه سازی اجزاء از ترانسdiyosr به قطعه متمنکرکننده برای انتقال ارتعاشات آلتراسونیک از ترانسdiyosr به درگیر در فرآیند اصطکاک لغزشی می‌باشد. شکل متمنکرکننده استفاده شده در این تحقیق به صورت ترکیبی از متمنکرکننده استوانه‌ای و مخروطی در نظر گرفته شد. تا هم دارای مزایای متمنکرکننده استوانه‌ای و هم دارای مزایای متمنکرکننده مخروطی باشد. به عبارت دیگر شکل در نظر گرفته شده باعث تقویت دامنه در خروجی، انتقال خوب ارتعاشات و توزیع یکنواخت‌تر تنش می‌باشد.

2- انتخاب روش طراحی متمنکرکننده در این تحقیق

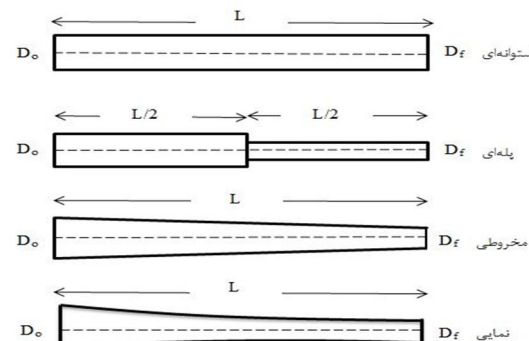
سه روش عده و مهم برای طراحی متمنکرکننده وجود دارد که عبارتند از روش تحلیلی، روش تجربی و آزمایشگاهی و روش عددی. روش تحلیلی روشی است که بر اساس حل معادله موج پایه‌گذاری شده است. در این روش ابتدا ساده‌سازی‌هایی از جمله اینکه ارتعاشات از نوع سینوسی هستند، طول متمنکرکننده ضریب صحیحی از نصف طول موج می‌باشد، ارتعاش ایجاد شده در متمنکرکننده از نوع طولی می‌باشد انجام شده و سپس به حل معادلات مربوطه می‌پردازند. از این روش به طور محدود برای طراحی متمنکرکننده استفاده می‌گردد. حل معادلات بسیار پیچیده و وقت‌گیر از معایب چشم‌گیر این روش می‌باشد. همچنین حل معادلات برای شکل پروفیل‌های ساده امکان‌پذیر بوده و برای شکل پروفیل‌های پیچیده و گوناگون نیاز به برنامه‌نویسی کامپیوتری و حل به کمک کامپیوتر می‌باشد. روش تجربی بر اساس ساخت و تست متمنکرکننده توسط زنراتور

اشکال ویژه‌ای است. علاوه بر آن متمنکرکننده، دامنه نوسانات ورودی را بزرگ نمایی کرده تا دامنه نوسان در خروجی متمنکرکننده برای انجام عملیات مورد نظر در حد کافی تقویت شده باشد.

وبستر معادله ارتعاشی را برای مود طولی به دست آورد و سپس آن را برای متمنکرکننده نمایی حل کرد. گرین و چیبو با استفاده از این معادله توزیع تنش را در یک نمونه آزمایشی به دست آورد^[23]. معادله وبستر برای تحلیل متمنکرکنندهایی که از شکل‌های ساده تشکیل شده بودند مورد استفاده قرار گرفت و پشکووسکی آن را برای یک متمنکرکننده پنج المانی (دو مخروط و سه استوانه) حل کرد^[24]. برای رسیدن به شرایط ارتعاشی مورد نظر می‌توان با ترکیب متمنکرکنندهای ساده به متمنکرکنندهای ترکیبی دست یافت. در سال 1995 امین و همکارانش برای رسیدن به دامنه ارتعاش مورد نظر متمنکرکننده سه المانی (ترکیبی از استوانه و مخروط) را پیشنهاد دادند^[25]. شریت و همکارانش متمنکرکننده تاخورده برای جاهایی که محدودیت فضای وجود دارد، طراحی کردند^[26]. دانگمینگ و ینگ روش شبکه را برای طراحی متمنکرکننده به کاربردند^[27]. بانگستون و همکارانش از آنالیز اجزاء محدود جهت بهینه سازی شکل متمنکرکننده ارتعاشی و ایجاد تطبیق امپدانسی با هوای محیط استفاده کردند^[28]. لی و هونگ مدلی جهت آنالیز دینامیکی متمنکرکننده ارائه نمودند^[29]. یاداوا و همکارانش بروسه آنالیز المان محدود یک متمنکرکننده ارتعاشی برای فرآیند ماشین کاری چرخشی به همراه آلتراسونیک را ارائه کردند^[30]. معمار و همکارانش به طراحی و ساخت متمنکرکننده نمایی به منظور اندازه گیری ویژگی‌های فرآصوتی محصولات کشاورزی پرداختند^[31]. امینی و همکارانش چندین طرح مختلف متمنکرکننده را برای فرآیند تراشکاری به همراه آلتراسونیک ارائه کردند. آنها به این نتیجه رسیدند که محل اتصال ابزار به متمنکرکننده نقش بسیار مهمی در عملکرد سیستم دارا می‌باشد^[32]. امامی و صادقی یک متمنکرکننده نمایی با سطح مقطع مستطیلی برای فرآیند سنگ زنی شبیه سازی کردند و نشان دادند که اختلاف بین نتایج شبیه سازی با نتایج تحلیلی کم می‌باشد^[21].

متمنکرکننده‌ها عموماً در چهار دسته کلی دسته‌بندی می‌شوند: استوانه‌ای، پله‌ای، مخروطی و نمایی (شکل 2). هر یک از این متمنکرکننده‌ها مزایا و معایب خاص خود را دارند.

متمنکرکننده استوانه‌ای¹ به لحاظ ساخت نسبت به دیگر طرح‌ها ساده‌تر می‌باشد و به لحاظ سادگی در شکل و ساخت در جایی که نیاز به تقویت دامنه ارتعاش نباشد بسیار مورد استفاده قرار می‌گیرد. این نوع متمنکرکننده به دلیل عدم تغییرات سطح مقطع از استحکام کافی بخوردار بوده و



شکل 2 انواع شکل متمنکرکننده^[24]

1- Cylindrical Horn

2- Stepped Horn

3- Amplification factor

4- Conical Horn

5- Exponential Horn

همجنس باشد. همچنین جسم بسته شده بر سر هورن نیز از همین جنس انتخاب گردید که توسط یک پیچ مغزی فولادی به متمنکر کننده بسته می‌شود. که خواص مکانیکی آن‌ها در جدول ۱ آمده است.

3-2-بسامد متمنکر کننده

بسامد متمنکر کننده² بسامدی است که در آن بسامد، متمنکر کننده به حالت تشیدی³ خواهد رسید. در انتخاب بسامد تشیدی متمنکر کننده باید به دو نکته توجه کرد: (1) بسامد انتخابی در رنج بسامد دستگاه آلتراسونیک باشد. به طور مثال اگر به ترتیب حداقل و حداقل بسامد تولیدی توسعه ژنراتور ۵kHz و ۷۰kHz باشد نمی‌توان متمنکر کننده‌ای با بسامد بیشتر از ۵kHz و کمتر از ۷۰kHz طراحی کرد. (2) بسامد تشیدی متمنکر کننده در محدوده بسامد ترانسدیوسر قرار داشته باشد. بازه بسامد ترانسدیوسر مورد استفاده در این مطالعه بین ۱۹/۵kHz تا ۲۰/۵kHz قرار دارد و باید طراحی به گونه‌ای باشد که بسامد تشیدی متمنکر کننده در این بازه قرار گیرد. در صورت قرار نگرفتن در این بازه، بازده هورن به عنوان یک تقویت‌کننده پایین خواهد آمد. حداقل بازده هورن به عنوان یک تقویت‌کننده انرژی آلتراسونیک وقتی به دست می‌آید که بسامد تشیدی هورن دقیقاً با بسامد تشیدی ترانسدیوسر یکسان باشد.

ذکر این نکته ضروری است که در بسیاری از موارد مجموعه ارتعاشی تنها شامل یک قطعه (متمنکر کننده) نبوده و طراحی با یک مجموعه ارتعاشی شامل متمنکر کننده و چند قطعه دیگر مواجه می‌باشد. در این حالت باید بسامد تشیدی مجموعه با هم در محدوده بسامد ترانسدیوسر قرار بگیرد. در این تحقیق از بسامد ۲۰kHz مطابق با بسامد تشیدی ترانسدیوسر برای طراحی استفاده شد.

3-3-محاسبه طول موج و اندازه ماکزیمم قطر متمنکر کننده و ابعاد متمنکر کننده

طول موج از تقسیم سرعت موج به بسامد طراحی بسته می‌آید. سرعت موج نیز بستگی به جنس ماده دارد و از جذر تقسیم مدول یانگ به چگالی ماده بسته می‌آید. از طول موج بسته آمده می‌توان برای محاسبه طول و قطر متمنکر کننده استفاده کرد. سرعت صوت از رابطه (1) به دست می‌آید:

$$c = \sqrt{\frac{E}{\rho}} = \sqrt{\frac{71.7 * 10^9}{2813.9}} = 5047 \text{ m/s} \quad (1)$$

سپس طول موج با استفاده از رابطه (2) محاسبه می‌گردد.

$$\lambda = \frac{c}{f} = \frac{5047}{20000} = 0.252 \text{ m} = 252 \text{ mm} \quad (2)$$

پیشنهاد شده است که بزرگ‌ترین قطر متمنکر کننده از یک چهارم طول موج کوچک‌تر یا مساوی آن باشد. در صورت بزرگ‌تر بودن از این مقدار

جدول ۱ خواص مکانیکی متمنکر کننده و دیگر اجزاء

نام	جنس	چگالی (kg/m³)	مدول الاستیستیک (GPa)	ضریب پؤاسن
متمنکر کننده	آلومینیوم	2810	71/7	/33
پیچ مغزی	فولاد	7800	210	/29
قطعه	آلومینیوم	2810	71/7	/33

2- Horn Frequency
3- Resonance

مهندسی مکانیک مدرس، فروردین ۱۳۹۴، دوره ۱۵، شماره ۱

می‌باشد. می‌توان طول تقریبی متمنکر کننده را با استفاده از طول موج انتشار یافته در آن به دست آورد. برای این کار کافی است که سرعت انتشار موج در جنس مورد نظر با استفاده از روابط موجود محاسبه گردیده و سپس با در نظر گرفتن بسامد طراحی مورد نظر، طول موج محاسبه شود. از طول موج بدست آمده طول متمنکر کننده به دست می‌آید. بعد از آن متمنکر کننده ساخته و تست می‌شود و در نهایت در صورت نیاز، هورن با استفاده از ماشینکاری مجدد تصحیح شده تا بسامد مورد نظر حاصل گردد. این روش نیز کارایی لازم را نداشته و علاوه بر وقت‌گیر بودن و دقت نامناسب، در صورتی که مجموعه ارتعاشی ما به غیر از متمنکر کننده شامل قطعات دیگری نیز باشد، رسیدن به بسامد طراحی مورد نظر برای کل مجموعه ارتعاشی بسیار مشکل می‌باشد.

روش عددی یکی از مؤثرترین و کارآمدترین روش‌ها برای طراحی متمنکر کننده می‌باشد. با این روش می‌توان متمنکر کننده با ابعاد و شکل پروفیل‌های متفاوت و ترکیبی از آنها را آنالیز مودال کرد. این روش از دقت بسیار بالایی برخوردار بوده در حالی که نسبت به سایر روش‌ها راحت‌تر و وقت کمتری را می‌گیرد.

بنابراین با توجه به موارد فوق و با توجه به اینکه متمنکر کننده استفاده شده در این تحقیق دارای شکل پیچیده‌ای است و علاوه بر تحلیل خود متمنکر کننده باید تحلیل جسمی که بر سر آن بسته می‌شود نیز انجام شود نمی‌توان از روش تحلیلی و روش آزمایشگاهی استفاده کرد. بنابراین برای تحلیل متمنکر کننده در این تحقیق، از شبیه‌سازی اجزاء محدود و از نرم افزار آباکوس استفاده شده است.

3- انتخاب پارامترهای طراحی برای متمنکر کننده

3-1-جنس متمنکر کننده و دیگر اجزاء

در یک مجموعه ارتعاشی انرژی آلتراسونیک از ترانسدیوسر به متمنکر کننده منتقل می‌شود. از طرفی دیگر انرژی صوتی هنگام عبور از یک سطح به سطحی دیگر کاملاً منتقل نشده، مقداری از آن بازتاب و مقداری هم در بین سطح مشترک دو ماده تلف می‌شود. پس اولین نتیجه‌های که گرفته می‌شود این است که هر چه جنس متمنکر کننده منتقل خواهد شد. همچنین یکی از وظایف اصلی متمنکر کننده انتقال ارتعاشات آلتراسونیک می‌باشد. پس باید جنس متمنکر کننده به گونه‌ای انتخاب گردد که دمپینگ ارتعاشی آن بسیار کم بوده و در نهایت منجر به اتلاف انرژی نشود. مثلاً چندین یک انتخاب ضعیفی می‌باشد. دلیل آن این است که در چند ذرات ریز گرافیت باعث جذب انرژی صوتی می‌گردد.^[34]

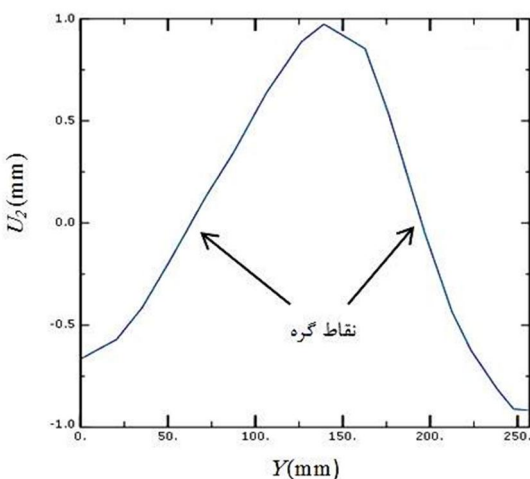
از بحث‌های بالا نتیجه گرفته می‌شود که جنس هورن باید دو خصوصیت مکانیکی و آکوستیکی خوب را با هم دارا باشد. خصوصیات مکانیکی شامل مقاومت به خستگی بالا، تنش تسلیم بالا، چقرمگی شکست خوب و مقاومت به سایش خوب و خصوصیات آکوستیکی شامل اتلاف انرژی کم، میرایی ارتعاشات پایین¹ و سرعت صوت بالا می‌شود. محققین از جنس‌های گوناگونی مانند آلیاژهای تیتانیم، فولاد و آلومینیوم برای ساخت متمنکر کننده استفاده کرده‌اند.

جنس متمنکر کننده استفاده شده در این تحقیق نیز آلومینیوم سری 7075 تی 6 انتخاب گردید تا با ترانسدیوسر استفاده شده در این تحقیق

1- Low Oscillation Damping

فرکانسی برای آن تعريف شد. برای تحلیل از مش C3D10 استفاده شد و تعداد المان‌ها 78729 انتخاب گردید، همچنین استقلال از نوع و تعداد مش انجام شد که تغییر قابل توجهی در فرکانس تشید نداشت. پس از اتمام تحلیل مطابق آنچه در شکل 4 دیده می‌شود مقدار فرکانس تشید طولی 19966 هرتز به دست آمد.

4- گیره‌بندی متمنکرکننده
ارتعاش طولی متمنکرکننده به دلیل اثر پؤاسون باعث تغییر در ابعاد متمنکرکننده در سه جهت می‌شود. از طرفی برای آماده‌سازی یک سیستم ارتعاشی نیاز به گیره‌بندی سیستم یا مجموعه در نقاط خاصی می‌باشد که در این نقاط مجموع حرکت نداشته باشد در اصل این نقاط، نقاط تکیه‌گاه مجموعه می‌باشند. به دلیل اینکه مجموعه، در حال ارتعاش آتراسونیک می‌باشد، این نقاط بایستی به دقت انتخاب شوند تا اولاً در این نقاط جابجایی وجود نداشته باشد، ثانیاً از ایجاد حرارت جلوگیری شود. چراکه انتخاب نادرست این نقاط علاوه بر اینکه مودهای ارتعاشی را تغییر می‌دهد، باعث گرم شدن بسیار شدید سیستم شده و موجب خرابی ترانسیسیوسر نیز می‌شود. برای پیدا کردن این نقاط دو روش وجود دارد، یا می‌توان به کمک نرمافزارهای اجزاء محدود این نقاط را تعیین کرد و یا می‌توان به کمک آزمایش‌های بعد از ساخت هورن و با استفاده از آزمایش پاشش پودرنقطاً را تعیین نمود. ولی به دلیل دقت بالای نرمافزارهای اجزاء محدود و مقرر به صرف نبودن ساخت چندین هورن، در این تحقیق برای پیدا کردن این نقاط از نرمافزار آباکوس استفاده گردید که شکل 5 منحنی تغییر طول هورن را در راستای محور هورن نشان می‌دهد. مشاهده می‌شود نقاطی وجود دارد که ارتعاش در آن در تمام جهت صفر می‌باشد. این مکان‌ها به نقاط گره معروف هستند که این گره‌ها در شکل مشخص می‌باشند. گره اولی در فاصله 63 سانتی متری و گره دومی در فاصله 193 سانتی متری از ابتدای متمنکرکننده قرار دارند. در گره اولی برای متمنکرکننده فلنجی ایجاد گردید تا ابزار هم دارای گیره‌بندی باشد و محل گیره‌بندی بر روی هورن به صورت یکپارچه ساخته شد. سعی شد تا حد امکان گره دوم در نزدیکی محل اتصال جسم به متمنکرکننده قرار گیرد. بنابراین طراحی نهایی ابزار ارتعاشی مطابق شکل 6 می‌باشد. این شکل مجدداً در نرم افزار آباکوس وارد شده و آنالیز مودال انجام گرفت. فرکانس تشید جدید ابزار ارتعاشی که شامل هورن و جسم بسته شده در سر آن می‌باشد همانگونه که در شکل 7 مشاهده می‌شود برابر 19976 هرتز می‌باشد.



شکل 5 نمودار تغییر طول ابزار ارتعاشی در راستای طولی

ارتعاشات عرضی در متمنکرکننده قابل توجه بوده که در نهایت باعث کاهش انرژی می‌شود [35]. بنابراین قطر ماکریم متنمنکرکننده از رابطه (3) به دست می‌آید.

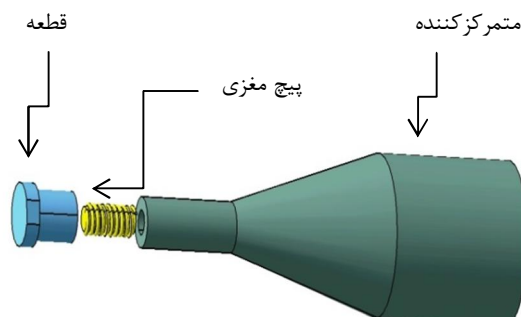
$$D_{max} = \frac{\lambda}{4} = 63\text{mm} \quad (3)$$

طول متمنکرکننده از $L = n^{\frac{\lambda}{2}}$ محاسبه خواهد شد که در آن n عددی صحیح می‌باشد. برای $n=1$ و $n=2$ به ترتیب هورن با طول نیم موج و تمام استفاده کرد از این رابطه در صورتی می‌توان استفاده کرد که ابزار ارتعاشی ما فقط شامل متمنکرکننده باشد. در صورتی که ابزار ارتعاشی شامل چند قطعه باشد (در این تحقیق ابزار ارتعاشی شامل متمنکرکننده، پیچ مغزی و قطعه بسته شده بر سر هورن می‌باشد) باید از نرمافزارهای اجزاء محدود برای رسیدن به ابعادی که در آن مجموعه ارتعاش طولی در سامد مورد نظر داشته باشد، استفاده کرد ولی می‌توان از این ابعاد به عنوان یک مقدار اولیه در نرم افزار اجزاء محدود استفاده کرد.

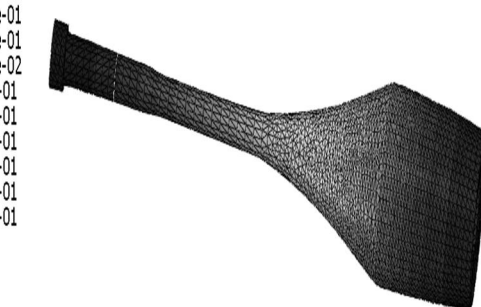
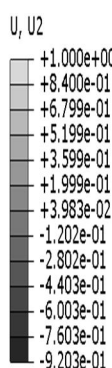
4- شبیه‌سازی اجزاء محدود ابزار ارتعاشی در نرم افزار آباکوس

برای شبیه‌سازی اجزاء محدود ابزار ارتعاشی، ابتدا طرح اولیه آن مطابق شکل 3 در نرم افزار کتیا طراحی گردید. که در این طراحی طول متمنکرکننده و قطعه بسته شده بر سر آن 252 میلی‌متر، قطر بزرگ متمنکرکننده 51 میلی‌متر و قطر کوچک متمنکرکننده 16 میلی‌متر در نظر گرفته شد.

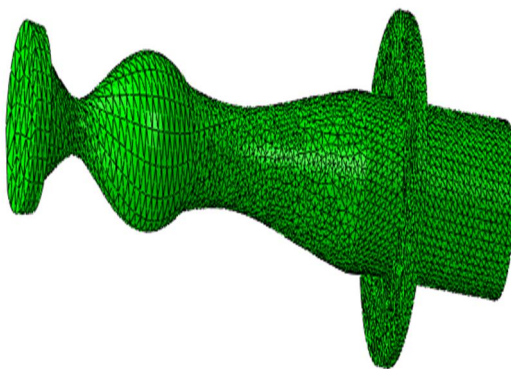
برای تحلیل ابزار ارتعاشی از نرم افزار آباکوس استفاده شد. ابتدا شکل طراحی شده در نرم افزار کتیا وارد نرم افزار آباکوس گردید و پس از تعیین مشخصات هر قطعه از لحاظ خواص مکانیکی در نرم افزار، یک مسئله خطی



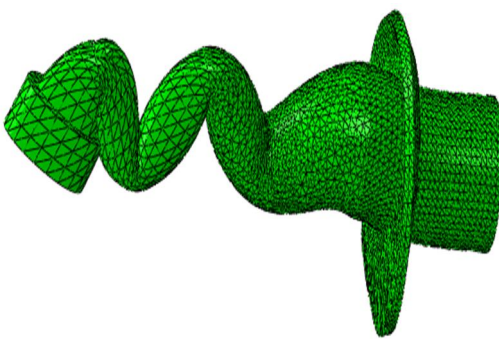
شکل 3 ابزار ارتعاشی طراحی شده در نرم افزار کتیا



شکل 4 تحلیل ابزار ارتعاشی به منظور یافتن فرکانس تشید



شکل 9 مود پیچشی هورن طراحی شده



شکل 10 مود خمشی هورن طراحی شده

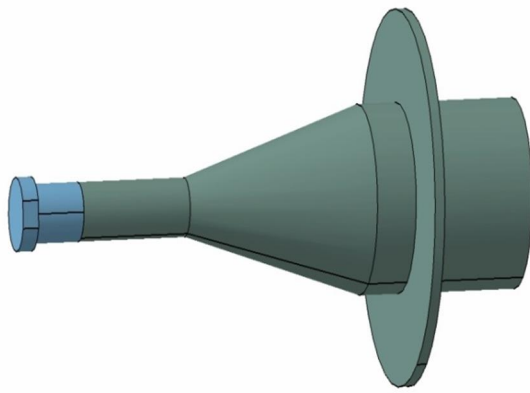
برای هر سیستم ارتعاشی سه مود ارتعاشی اصلی وجود دارد:

1-مود طولی: در این مود هورن در امتداد محور خودش ارتعاش می‌کند.شکل 8

2-مود پیچشی : در این مود هورن حول محور خودش ارتعاش دارد.شکل 9

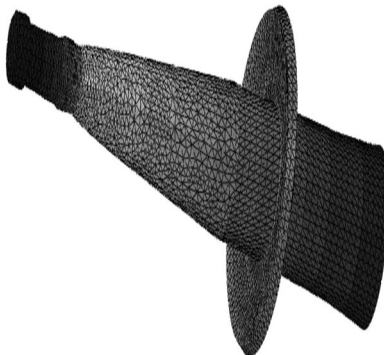
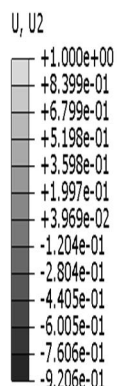
3-مود خمشی : در این مود هورن به طرف چپ و راست یا بالا و پایین خم و راست می‌شود.شکل 10

همانگونه که از شکل‌های 8.9 و 10 مشخص است فرکانس طولی هورن طراحی شده 19976Hz ، فرکانس پیچشی 21013Hz و فرکانس خمشی

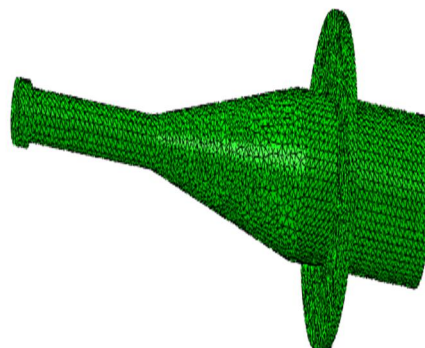


شکل 6 شکل نهایی ابزار ارتعاشی طراحی شده در نرم افزار کتیا

تحقيقی یک ترانسدیوسر با ارتعاش طولی می‌باشد و نمی‌تواند ارتعاشات خمشی و پیچشی را تحمل کند و بازه فرکانس تشید آن نیز بین $19/5\text{ KHZ}$ تا $20/5\text{ KHZ}$ می‌باشد. بنابراین در طراحی ابزار ارتعاشی استفاده شده در این تحقیق به این نکته توجه شد که مودهای خمشی و پیچشی در این بازه قرار نگیرند چراکه در صورتی قرارگیری در این بازه باعث آسیب جدی به ترانسدیوسر و مجموعه ارتعاشی می‌شود. بنابراین کار طراحی ابزار ارتعاشی بسیار حساس و دقیق می‌باشد و نه تنها باید مواردی از جمله جنس، بسامد و طول موج در طراحی ابزار ارتعاشی مورد توجه قرار گیرد بلکه ترانسدیوسری که قرار است ابزار ارتعاشی را نیز مرتعش کند باید مورد توجه باشد. درصورت قرارگیری فرکانس پیچشی و خمشی در بازه فرکانس ترانسدیوسر باید ابعاد هورن طراحی شده را تغییر داده ، این سعی و خطا تا جایی که این فرکانس‌ها بیرون از بازه فرکانس ترانسدیوسر قرار گیرند ادامه می‌یابد.



شکل 7 تحلیل نهایی ابزار ارتعاشی به منظور محاسبه فرکانس تشید

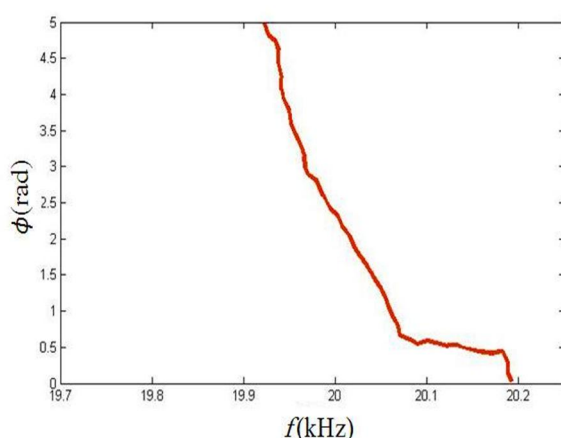


شکل 8 مود طولی هورن طراحی شده

5- ساخت و بررسی تجربی ابزار ارتعاشی

سراجام پس از اینکه ابزار ارتعاشی در نرم افزار کتیا طراحی شد و در نرم افزار آباقوس تحلیل گردید، ساخته شد و برای انجام آزمایشات بروی دستگاه تراش نصب گردید.(شکل 11). به منظور نصب و موقعیت دهی تجهیزات ساخته شده بروی دستگاه تراش، نیاز به ابزاری برای نگه داشتن ابزار ارتعاشی بود که این نگهدارنده‌ها طراحی و ساخته شدند. لذا نگه دارنده نشان داده شده در شکل 11 پس از تعیین اندازه‌ها و موقعیت موردنظر ساخته شد، به نحویکه ابزار ارتعاشی به آن پیچ شده و در محل ابزار گیر دستگاه تراش نصب گردید.

پس از آنکه ابزار ارتعاشی ساخته شد و بروی دستگاه تراش نصب گردید فرکانس تشید آن توسط ژنراتور به دست آمد. ژنراتور مورد استفاده در این



شکل 13 مقدار فرکانس تشیدید به دست آمده از ژنراتور

فرکانس تشیدید به دست آمده از نرم افزار برابر 19976 می‌باشد که مقدار تجربی به دست آمده از ژنراتور برابر 19920 می‌باشد. که اختلاف بسیار کمی با یکدیگر دارند که این اختلاف بسیار کم نشان دهنده دقت شبیه‌سازی انجام شده می‌باشد. علت این اختلاف کم را نیز می‌توان، عدم در نظر گرفتن اتلاف انرژی بین سطوح تماس در نرم افزار یا عدم رعایت ترانس موجود در ساخت متمن‌کرکننده دانست.

6- نتیجه گیری

بخش مهمی از یک سیستم آلتراسونیک، متمن‌کرکننده یا هورن می‌باشد. متمن‌کرکننده ابزاری است که ارتعاشات آلتراسونیک را از ترانسdiyosr گرفته و به ناحیه هدف می‌رساند. مهمترین وظیفه‌ی آن انتقال و تقویت دامنه ارتعاشات به منظور پهلوی عملکرد سیستم آلتراسونیک می‌باشد. متمن‌کرکننده‌ها بسته به کاربرد آن‌ها دارای شکل‌های مختلفی می‌باشند. در این تحقیق یک متمن‌کرکننده استوانه‌ای-مخروطی-استوانه‌ای طراحی، تحلیل و ساخته شد. متمن‌کرکننده از جنس آلومینیوم سری 7075 تی 6 می‌باشد. به طور خلاصه نتایج به دست آمده از این پژوهش عبارتند از:

- 1- طراحی، شبیه سازی اجزاء محدود و ساخت متمن‌کرکننده استوانه‌ای-مخروطی استوانه‌ای با قابلیت تقویت دامنه ارتعاشات و انتقال خوب ارتعاشات در فرآیند اصطکاک.
- 2- به دست آوردن نقاط گره در متمن‌کرکننده و طراحی و ساخت فلنج و ابزار گیره‌بندی متمن‌کرکننده و طراحی و ساخت نگهدارنده‌ای ابزار ارتعاشی.
- 3- فرکانس تشیدید به دست آمده از شبیه سازی اجزاء محدود توسط نرم افزار آباکوس 19976 هرتز می‌باشد.
- 4- فرکانس تشیدید به دست آمده از ژنراتور 19920 هرتز می‌باشد.
- 5- اختلاف بسیار کمی بین نتایج شبیه‌سازی و نتایج تجربی به دست آمد(کمتر از 1%). این اختلاف بسیار کم نشان دهنده دقت شبیه‌سازی انجام شده می‌باشد. علت این اختلاف کم را نیز می‌توان، عدم در نظر گرفتن اتلاف انرژی بین سطوح تماس در نرم افزار یا عدم رعایت ترانس موجود در ساخت متمن‌کرکننده دانست.

7- قدردانی

نویسنده‌گان مراتب قدردانی خود را از مدیر آزمایشگاه آلتراسونیک دانشگاه صنعتی اصفهان جناب آقای دکتر امین الله محمدی به خاطر همکاری ایشان

تحقيق دارای 3000W توان بوده و محدوده بسامد آن بین 5 kHz تا 70 kHz می‌باشد. این ژنراتور در شکل 12 نشان داده شده است. یکی از مهم‌ترین قابلیت‌های این ژنراتور توانایی اسکن کردن ابزار ارتعاشی در محدوده بسامد مورد نظر می‌باشد. در واقع با اسکن کردن ابزار ارتعاشی، بسامد تشیدید مجموعه، قبل از استارت ژنراتور به دست خواهد آمد. این قابلیت باعث می‌شود که از وجود هرگونه مشکل قبل از راه اندازی کامل ژنراتور با خبر شده و از خدمات احتمالی وارد به مجموعه جلوگیری شود. این ژنراتور با نرم افزار لب ویو کنترل می‌گردد.

مقدار فرکانس تشیدید به دست آمده از ژنراتور مطابق شکل 13 برابر 19920 هرتز می‌باشد. محور افقی شکل 13 نشان دهنده‌ی فرکانس ابزار ارتعاشی می‌باشد و محور عمودی این شکل معرف زاویه فاز بین ولتاژ و جریان داده شده به ژنراتور 5+ می‌باشد، بنابراین برای یافتن فرکانس تشیدید از روی نمودار باید فرکانس مربوط به این زاویه فاز خوانده شود که این مقدار 19920 هرتز می‌باشد.



شکل 11 ابزار ارتعاشی ساخته شده و نحوه گیره بندی ابزار ارتعاشی



شکل 12 ژنراتور استفاده شده در این تحقیق برای به دست آوردن فرکانس تشیدید

- travelling wave ultrasonic motors, *Ultrasonics*, Vol. 40, No. 1, pp. 379-383, 2002 .
- [18] V. Kumar, I. Hutchings, Reduction of the sliding friction of metals by the application of longitudinal or transverse ultrasonic vibration, *Tribology International*, Vol. 37, No. 10, pp. 833-840, 2004 .
- [19] V. L. Popov, J. Starcevic, A. E. Filippov, Influence of ultrasonic in-plane oscillations on static and sliding friction and intrinsic length scale of dry friction processes, *Tribology letters*, Vol. 39, No. 1, pp. 25-30, 2010 .
- [20] S. Dong, M. J. Dapino, Elastic-plastic cube model for ultrasonic friction reduction via Poisson's effect, *Ultrasonics*, Vol. 54, No. 1, pp. 343-350, 2014 .
- [21] E. mohsen, m. H. Sadeghi, Analytical Modling and finite element simulation of exponential horns with rectangular cross-section:Application on ultrasonic assisted grinding, *Modares Mechanical Engineering*, Vol. vol.13,NO 14, pp. 185-189, 2013. In Persian
- [22] A. Shoh, Industrial applications of ultrasound-A review I. High-power ultrasound, *Sonics and Ultrasonics, IEEE Transactions on*, Vol. 22, No. 2, pp. 60-70, 1975 .
- [23] C. Green, F. Guiu, The ultrasonic stress distribution in a specimen with a circular gauge profile, *Journal of Physics D: Applied Physics*, Vol. 9, No. 6, pp. 1063, 1976 .
- [24] S. L. Peshkovsky, A. S. Peshkovsky, Matching a transducer to water at cavitation: Acoustic horn design principles, *Ultrasonics sonochemistry*, Vol. 14, No. 3, pp. 314-322, 2001 .
- [25] S. Amin, M. Ahmed, H. Youssef, Computer-aided design of acoustic horns for ultrasonic machining using finite-element analysis, *Journal of Materials Processing Technology*, Vol. 55, No. 3, pp. 254-260, 1995 .
- [26] S. Sherrit, M. Badescu, X. Bao, Y. Bar-Cohen, Z. Chang, Novel horn designs for power ultrasonics, in *Proceeding of, IEEE*, pp. 2263-2266 .
- [27] Z. P. F. D. G. Dongming, F. Yaying, Design of horn using four-end network method [J], *Acta Acustica*, Vol. 6, pp. 014, 2002 .
- [28] E. Bängtsson ,D. Noreland, M. Berggren, Shape optimization of an acoustic horn, *Computer methods in applied mechanics and engineering*, Vol. 192, No. 11, pp. 1533-1571, 2003 .
- [29] S. I. Lee, S. H. Hong, Nonlinear vibration analysis of ultrasonic horn model for flip-chip bonding, in *Proceeding of, IEEE*, pp. 2804-2807 .
- [30] V. Yadava, A. Deoghare, Design of horn for rotary ultrasonic machining using the finite element method, *The International Journal of Advanced Manufacturing Technology*, Vol. 39, No. 1-2, pp. 9-20, 2004 .
- [31] M. Rasoul, M. Saeed, h. mohammad, Design, construction and testing of exponential focused ultrasound to measure the characteristics of agricultural products, *Journal of Agricultural Machinery*, 2012. In Persian
- [32] S. Amini, H. Soleimanimehr, M. Nategh, A. Abdollah, M. Sadeghi, FEM analysis of ultrasonic-vibration-assisted turning and the vibratory tool, *Journal of materials processing technology*, Vol. 201, No. 1, pp. 43-47, 2008 .
- [33] A. Lal, R. M. White, Silicon microfabricated horns for power ultrasonics, *Sensors and Actuators A: Physical*, Vol. 54, No. 1, pp. 542-546, 1996 .
- [34] J. R. Frederick, Ultrasonic engineering, 1965 .
- [35] D. Ensminger, F. B. Stulen, *Ultrasonics: Data, Equations and Their Practical Uses*: CRC Press, 2008 .

در انجام آزمایش‌های تجربی ابراز می‌دارد.

8- مراجع

- [1] M. Murakawa, M. Jin, The utility of radially and ultrasonically vibrated dies in the wire drawing process, *Journal of Materials Processing Technology*, Vol. 113, No. 1, pp. 81-86, 2001 .
- [2] Z. Huang, M. Lucas, M. J. Adams, Influence of ultrasonics on upsetting of a model paste, *Ultrasonics*, Vol. 40, No. 1, pp. 43-48, 2002 .
- [3] S. Mousavi, H. Feizi, R. Madoliat, Investigations on the effects of ultrasonic vibrations in the extrusion process, *Journal of materials processing technology*, Vol. 187, pp. 65, 2007, 661-7.
- [4] A. Riedll, Stretch Forming Process for Sheet Metal, *German patent* , 1942 .
- [5] Z. Yao, G.-Y. Kim, L. Faidley, Q. Zou, D. Mei, Z. Chen, Effects of superimposed high-frequency vibration on deformation of aluminum in micro/meso-scale upsetting, *Journal of Materials Processing Technology*, Vol. 212, No. 3, pp. 640-646, 2012 .
- [6] S. Y. A. B. S.E.Eftekhari Shahri , K.khalilii ,B.S.Kong, Ultrasonic tube hydroforming, a numerical and analytical study, *Modares Mechanical Engineering*, 2013. In Persian
- [7] T. Moriwaki, E. Shamoto, K. Inoue, Ultraprecision ductile cutting of glass by applying ultrasonic vibration, *CIRP Annals-Manufacturing Technology*, Vol. 41, No. 1, pp. 141-144, 1992 .
- [8] E. Shamoto, T. Moriwaki, Fundamental Study on Elliptical Vibration Cutting, in *Proceeding of*, 162-165 .
- [9] E. Shamoto, T. Moriwaki, Study on elliptical vibration cutting, *CIRP Annals-Manufacturing Technology*, Vol. 43, No. 1, pp. 35-38, 1994 .
- [10] JT. Moriwaki, E. Shamoto, Ultrasonic elliptical vibration cutting, *CIRP Annals-Manufacturing Technology*, Vol. 44, No. 1, pp. 31-34, 1995 .
- [11] V. Astashev, V. Babitsky, Ultrasonic cutting as a nonlinear (vibro-impact) process, *Ultrasonics*, Vol. 36, No. 1, pp. 89-96, 1998 .
- [12] Y. Ichida, R. Sato, Y. Morimoto, K. Kobayashi, Material removal mechanisms in non-contact ultrasonic abrasive machining, *Wear*, Vol. 258, No. 1, pp. 107-114, 2005 .
- [13] A. Curodeau, J. Guay, D. Rodrigue, L. Brault, D. Gagné, L.-P. Beaudoin, Ultrasonic abrasive μ -machining with thermoplastic tooling, *International Journal of Machine Tools and Manufacture*, Vol. 48, No. 14, pp. 1553-1561, 2008 .
- [14] H. Hocheng, K. Kuo, Fundamental study of ultrasonic polishing of mold steel, *International Journal of Machine Tools and Manufacture*, Vol. 42, No. 1, pp. 7-13, 2002 .
- [15] R. S. Mulik, P. M. Pandey, Mechanism of surface finishing in ultrasonic-assisted magnetic abrasive finishing process, *Materials and Manufacturing Processes*, Vol. 25, No. 12, pp. 1418-1427, 2010 .
- [16] W. Littmann, H. Storck, J. Wallaschek, Sliding friction in the presence of ultrasonic oscillations: superposition of longitudinal oscillations, *Archive of Applied Mechanics*, Vol. 71, No. 8, pp. 549-554, 2001 .
- [17] H. Storck, W. Littmann, J. Wallaschek, M. Mracek, The effect of friction reduction in presence of ultrasonic vibrations and its relevance to